

防衛大学校 (工) 山口 晴華

" (工) 大平 至徳

" (工) 木暮 敏二

まえがき 粘性土のせん断特性を式化した構成式には応力異方性やレオロジー挙動を反映させたものか提案されてきている。また構成式を用いた有限要素法解析により粘性土地盤の応力・変形解析の試みもなされている。しかし、植物組織質の構成でいる有機質土ではサンプリングやせん断試験の難しさ故に、有効応力の解析を試みたものは皆無に近い。本文は特殊土として分類される有機質土の特殊性を応力ひずみ関係式の中に式化する始動として試みた試験結果を報告するものである。練習し再び序論で有機質土は有機質土としての生命を保つ立場に立ち、あくまで乱さない有機質土を用いて圧密およびせん断中の体積変化について言及するものである。

実験方法 試料土は地表面下1~3m付近に有機質土層を有する大宮近郊に分布する地盤から、地表面に鉛直にシカールを人力で貫入し採取したものである。その物理的性質を表-1に示す。表中のLL, PL, H, C<sub>L</sub>, C<sub>R</sub> はそれぞれ強熱減量率、分解度(水洗液による)自然間隙比である。大部分は構造複からなり、LLおよびPLは測定不能であるが、極めてヒドロゲルを用いたワイヤーによつて三軸試験用円柱供試体(5cm<sup>2</sup>)の成形が可能である。本実験は 1).一次元および等方圧密試験、2).等方応力条件下で二次圧密中にある有機質土の圧密試験、3).等方圧密・膨張・再圧密の繰返し試験、4).側压一安排水圧縮せん断試験から成る。なお一次元(標準)圧密以外はすべて100kPaのバックプレッシャーを供試体上端面より施す、間隙水圧は供試体底部のものと測定した。

実験結果と考察 間隙水圧を計測し有効応力解析を試みる場合、特に高圧

間隙比の有機質土では飽和度を弄する必要がある。各圧密圧力(P)でのB値はほぼ1に近く(図-1)、本実験での供試体は飽和状態にあるとみなせる。また図-2は等方応力条件下での一次圧密過程を間隙水圧(%)と体積ひずみ(%)の経時変化で示したものである。間隙水圧の消散過程から判断すると700分程度で一次圧密が完了するとみられ、この時間は粘性土とそれにはほぼ等しいことわかる。そこで、各等方応力(P)での圧密および膨張期間を1日、応力の消散量を10~50kPaとし、含水量(w)とPとの関係を示したのが図-3である(図中の△Pは一次元圧密の結果)。図より、低応力の正規圧密領域では圧縮指数(C<sub>c</sub>)は一定とみなせるが、その値はからずも高範囲の応力状態でのそれを代表するものではないことがわかる。そこで、正規および過圧密領域でのPの消散による間隙比(e)の変化量を△lnPと△lnεとの関係で示したのが図-4である。これより、等方応力成分による間隙比消合(de)<sub>c</sub>および可逆の間隙比増合(de)<sub>r</sub>はそれらの(de)<sub>c</sub> =  $\frac{e}{P} \cdot \Delta P - (1)$ , (de)<sub>r</sub> =  $-K \cdot e \cdot \Delta P - (2)$ となる。ここで、Kは圧縮および膨張指數とみなせる。又大平らが泥炭の標準圧密試験で指摘したことと考慮すると、異方圧密時

Table-1

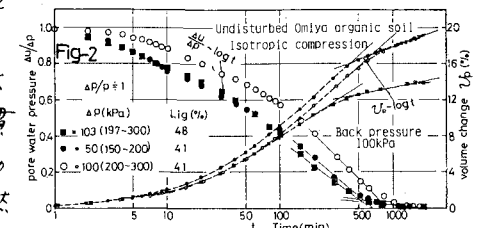
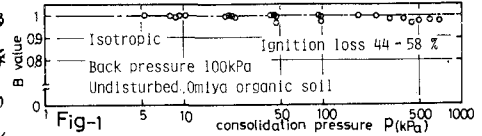


Fig-3

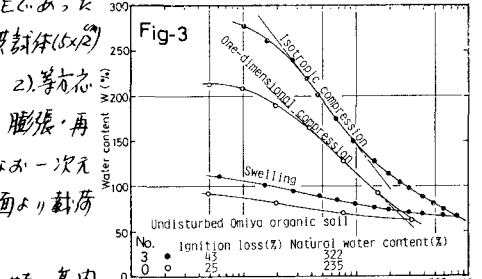
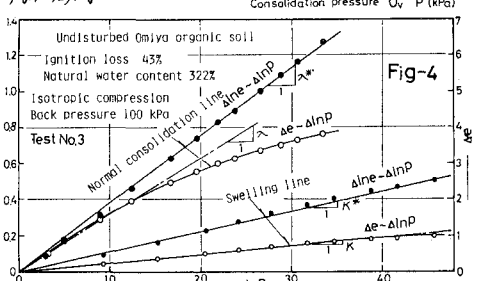


Fig-4



に古川式の関係が成立すると推測される。次に等方応力条件下で、二次圧密中にある正規圧密を含む有機質土の圧密過程と二次圧密中の体積変化量を含めて、 $\Delta \log P$ 面上にプロットしたのが図-5, 6である。図中の $T_s$ はある $P$ での $\Delta \log P$ を密閉時間と定める。図-5を注目すべきことは、各 $P$ での $T_s$ の等しい点を結んで求めた $\Delta \log P$ 曲線(粗実線)の勾配は $T_s$ の大小に依存し、Bjerrumの概念とは異なることである。また二次圧密中にある有機質土の $P$ の増加に伴う $\Delta e$ 変化量は、圧密中の $P$ より $T_s$ の大小によりず一定となり、 $\Delta e = \Delta \log P - 3$ と近似できる(図-8)ことである。(3)式は(2)式と異なるが、このことは図-8で示したように正規圧密線の初期部分ではその勾配が、つまり $C_{c0}$ 一定であることからも推測される。一方、過圧密領域で二次圧密の場合、再圧密時の $P \sim e$ 関係は過圧密比( $OCR$ )によらず、(2)式で表すことができる膨張線から推定することができる(図-9)。このことは $OCR$ のみならず圧密期間に左右されないことを意味する。

図7は図5, 6での二次圧密中の膨脹を示したものである。正規圧密有機質土(W.C.)の二次圧密速度は $\Delta \ln P$ で規定でき、 $\Delta e$ の値は $P$ に依存する。一方、過圧密有機質土(O.C.)のそれは粘土土と同様に $d\epsilon/d\log P$ で表される。 $OCR$

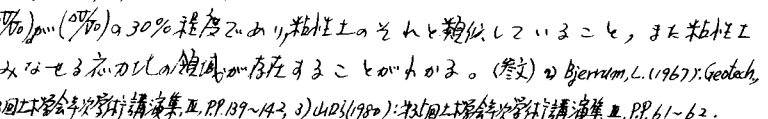
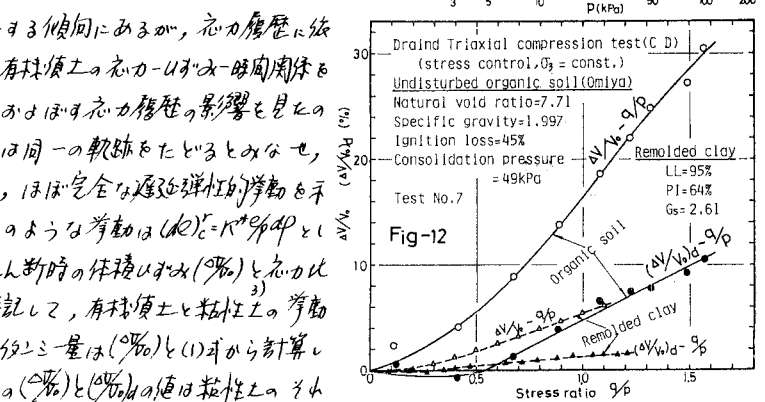
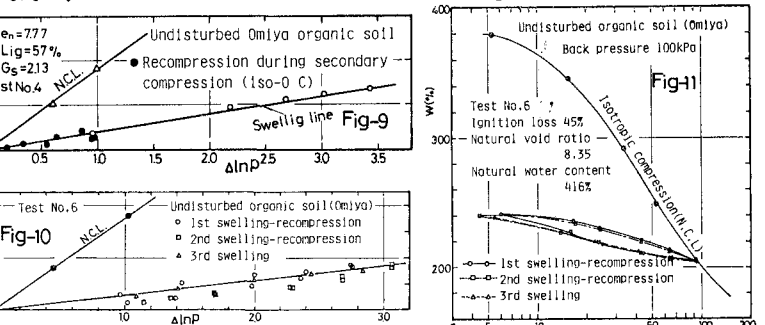
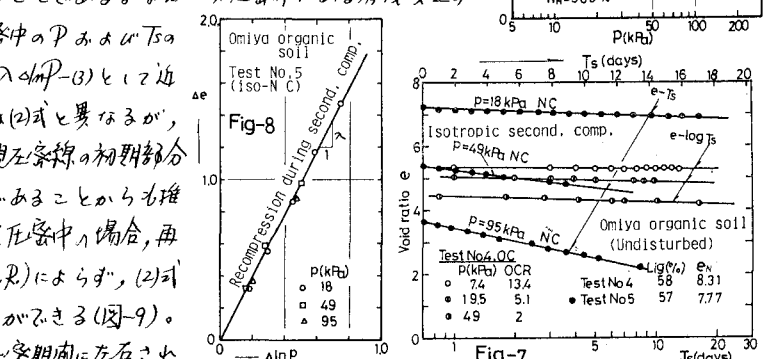
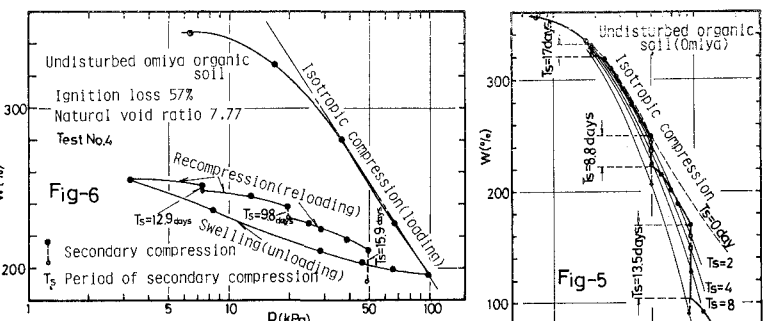


Fig-11: A graph showing the relationship between pressure P (kPa) on the x-axis and water content W (%) on the y-axis. It shows a curve for 'Isotropic compression in C.L.' with a back pressure of 100 kPa. Parameters listed are: Ignition loss 45%, Natural void ratio 8.35, Natural water content 41.6%. Test No. 6 is also mentioned.

Fig-12: A graph showing the relationship between stress ratio  $\sigma/\sigma_0$  on the x-axis and change in void ratio  $\Delta V/V_0$  on the y-axis. It shows a curve for 'Drained Triaxial compression test (C.D.) (stress control:  $\sigma_3 = \text{const.}$ ) Undisturbed organic soil (omiya)'. Parameters listed are: Natural void ratio 7.71, Specific gravity 1.997, Ignition loss 45%, Consolidation pressure = 49 kPa, Test No. 7, LL = 95%, PI = 64%, Gs = 2.61. The graph compares 'Organic soil' and 'Remolded clay'.

(2)式と(3)式の比較: 本論文では、(2)式と(3)式の比較を行った。図-11は、(2)式による計算結果と実験結果との比較である。図-12は、(2)式による計算結果と実験結果との比較である。図-11では、(2)式による計算結果と実験結果との誤差が大きい。一方、図-12では、(2)式による計算結果と実験結果との誤差が小さい。これは、(2)式が(3)式よりも正確であるためである。

参考文献: Bjerrum, L. (1967): Geotech., Vol. 17, No. 2, pp. 82~118, 1) 大平ら(1968): 第23回土木学会年次学術講演集, II, pp. 139~143, 2) 山口ら(1980): 第3回土木学会年次学術講演集, II, pp. 61~62.